

## ПАРАМЕТРЫ ПЛАЗМЫ И КИНЕТИКА РЕАКТИВНО-ИОННОГО ТРАВЛЕНИЯ $\text{SiO}_2$ И $\text{Si}_3\text{N}_4$ В СМЕСИ $\text{HBr}/\text{Cl}_2/\text{Ar}$

© 2023 г. А. М. Ефремов<sup>1</sup>, \*, В. Б. Бетелин<sup>2</sup>, К.-Н. Kwon<sup>3</sup>

<sup>1</sup>ФГБОУ ВО “Ивановский государственный химико-технологический университет”,  
Шереметевский просп., 7, Иваново, 153000 Россия

<sup>2</sup>ФГУ ФНЦ НИИСИ РАН, Нахимовский просп., 36, к. 1, Москва, 117218, Россия

<sup>3</sup>Korea University, Sejong, 339-700 South Korea

\*E-mail: amefremov@mail.ru

Поступила в редакцию 21.11.2022 г.

После доработки 15.12.2022 г.

Принята к публикации 20.12.2022 г.

Проведено исследование параметров газовой фазы и кинетики реактивно-ионного травления  $\text{SiO}_2$  и  $\text{Si}_3\text{N}_4$  в условиях индукционного ВЧ (13.56 МГц) разряда при варьировании соотношения  $\text{HBr}/\text{Cl}_2$ . Схема исследования включала диагностику плазмы зондами Ленгмюра, моделирование плазмы с целью нахождения стационарных концентраций активных частиц, а также измерение скоростей и анализ механизмов травления в приближении эффективной вероятности взаимодействия. Установлено, что замещение  $\text{HBr}$  на  $\text{Cl}_2$  при постоянном содержании аргона: а) сопровождается заметным изменением электрофизических параметров плазмы; б) приводит к слабому росту интенсивности ионной бомбардировки обрабатываемой поверхности; и в) вызывает значительное увеличение суммарной концентрации и плотности потока химически активных частиц. Показано, что скорости травления  $\text{SiO}_2$  и  $\text{Si}_3\text{N}_4$  монотонно возрастают с ростом доли  $\text{Cl}_2$  в смеси, при этом основным механизмом травления является ионно-стимулированная химическая реакция. Модельное описание кинетики такой реакции в первом приближении предполагает а) аддитивный вклад атомов брома и хлора; и б) прямо-пропорциональную зависимость их эффективных вероятностей взаимодействия от интенсивности ионной бомбардировки. Предположено существование дополнительного канала гетерогенного взаимодействия с участием молекул  $\text{HCl}$ .

**Ключевые слова:**  $\text{HBr}$ ,  $\text{Cl}_2$ , параметры плазмы, активные частицы, ионизация, диссоциация, травление, кинетика, механизм

**DOI:** 10.31857/S0544126923700217, **EDN:** PYKANE

### 1. ВВЕДЕНИЕ

В настоящее время кремниевая электроника все еще занимает лидирующие позиции в мировом производстве дискретных микроэлектронных устройств и интегральных микросхем (ИМС). Важную роль в технологии кремниевых ИМС играют функциональные слои  $\text{SiO}_2$  и/или  $\text{Si}_3\text{N}_4$ , которые используются для формирования областей подзатворного диэлектрика в МДП-транзисторах, межэлементной изоляции, пассивирующих и изолирующих покрытий в многослойных структурах, а также неорганических масок в отдельных фотолитографических процессах [1, 2]. Очевидно, что все перечисленные области применения  $\text{SiO}_2$  и  $\text{Si}_3\text{N}_4$  предусматривают структурирование (размерное травление) предварительно нанесенных сплошных покрытий при а) сохранении физико-химических свойств обрабатываемого материала; и б) выполнение жестких требований к геометрии профиля травления. Поэтому разработка новых и оптимизация существующих методов травления

является актуальной задачей, обеспечивающей совершенствование технологий и функциональных характеристик конечных изделий.

Анализ литературных данных [3–5] показывает, что основным инструментом структурирования кремния и его соединений является реактивно-ионное травление (РИТ) в среде фторсодержащих газов. Характерной чертой “фторной химии” является спонтанный характер реакции  $\text{Si} + x\text{F} \rightarrow \text{SiF}_x$ , обуславливающий высокую скорость и близкий к изотропному профиль травления кремния [4]. В то же время, гетерогенное взаимодействие атомов фтора с  $\text{SiO}_2$  и  $\text{Si}_3\text{N}_4$  протекает по ионно-стимулированному механизму, инициирующей стадией которого выступает деструкция оксидных и нитридных связей ионной бомбардировкой [3, 4]. Значительно менее многочисленные исследования процессов РИТ в хлор- и бромсодержащих газах [2, 4, 6–10] формируют адекватное представление о механизме травления толь-

ко лишь для кремния. Результаты этих работ могут быть обобщены в виде следующих положений:

1) Вероятность спонтанной химической реакции в системах  $\text{Si} + \text{Cl}$  и  $\text{Si} + \text{Br}$  значительно ниже по сравнению с  $\text{Si} + \text{F}$  [7]. Этот эффект обычно относят к большему размеру атомов хлора и брома, что затрудняет проникновение этих частиц в поверхностные слои обрабатываемого материала [7, 8]. В результате, взаимодействие Cl и Br с атомами кремния происходит лишь по ограниченному числу связей, при этом стационарный режим процесса травления обеспечивается ионно-стимулированной десорбцией труднолетучих соединений вида  $\text{SiCl}_x$  ( $x < 4$ ) и  $\text{SiBr}_x$  ( $x < 4$ ) [6, 7]. Такая ситуация способствует достижению анизотропного профиля травления, но характеризуется низкими значениями скоростей удаления материала с обрабатываемой поверхности [4].

2) Более высокие скорости травления кремния в плазме  $\text{Cl}_2$  по сравнению с плазмой  $\text{HBr}$  при одинаковых условиях возбуждения разряда объективно отражают различия концентраций и плотностей потоков атомов в данных системах [8, 10, 11]. В то же время, очевидным преимуществом второго газа является лучшая анизотропия травления, достигаемая за счет меньших значений а) отношения плотности потока атомов брома к плотности потока ионов; и б) углового рассеяния ионов с большей массой [2–5].

К сожалению, аналогичные (то есть обеспечивающие сравнение кинетики РИТ в условиях хлорной и бромной химии) данные для  $\text{SiO}_2$  и  $\text{Si}_3\text{N}_4$  разрознены, не согласуются по исследованным диапазонам условий и, как следствие, часто противоречивы. Для исправления сложившейся ситуации в нашей предшествующей работе [12] было проведено сравнительное исследование кинетики реактивно-ионного травления  $\text{SiO}_2$  в смесях  $\text{CF}_4/\text{Ar}$ ,  $\text{Cl}_2/\text{Ar}$  и  $\text{HBr}/\text{Ar}$  при одинаковых условиях возбуждения разряда. Было найдено, что абсолютные значения скоростей травления при любом фиксированном составе смеси снижаются в последовательности  $\text{CF}_4-\text{Cl}_2-\text{HBr}$ , при этом варьирование состава вызывает однотипные изменения как скоростей травления, так и плотностей потоков основных активных частиц – положительных ионов и атомов галогенов. Показано также, что более высокие скорости травления  $\text{SiO}_2$  в системе  $\text{Cl}_2/\text{Ar}$  по сравнению с  $\text{HBr}/\text{Ar}$  имеют место в условиях более низкой интенсивности ионной бомбардировки обрабатываемой поверхности, но при более высокой плотности потока атомов хлора по сравнению с атомами брома. Данный факт указывает на то, что в условиях высоких (~400 эВ) энергий бомбардирующих ионов скорость травления не лимитируется ионно-стимулированными стадиями деструкции оксидных связей и десорбции продуктов взаимодействия.

Из представленных данных можно заключить, что формально близкие механизмы, но различные скорости травления  $\text{SiO}_2$  в плазме  $\text{Cl}_2$  и  $\text{HBr}$  предполагают использование соотношения  $\text{HBr}/\text{Cl}_2$  в качестве дополнительного управляющего параметра при комбинировании этих газов в одной смеси. Поэтому целью данной работы являлось сравнительное исследование кинетики и анализ механизмов реактивно-ионного травления  $\text{SiO}_2$  и  $\text{Si}_3\text{N}_4$  в смеси  $\text{HBr}/\text{Cl}_2/\text{Ar}$  при варьировании соотношения  $\text{HBr}/\text{Cl}_2$ . Основное внимание было направлено на выявление взаимосвязей между характеристиками газовой фазы и гетерогенными процессами, определяющими кинетику травления. Еще одной принципиальной особенностью по сравнению с работой [12] являлось использование более низких энергий ионной бомбардировки. Последнее является весьма критичным для минимизации радиационных повреждений поверхности и деградации диэлектрических свойств обрабатываемой поверхности.

## 2. МЕТОДИЧЕСКАЯ ЧАСТЬ

### 2.1. Оборудование и техника эксперимента

Эксперименты проводились в плазмохимическом реакторе планарного типа с цилиндрической ( $r = 13$  см,  $l = 16$  см) рабочей камерой из анодированного алюминия [10–12]. В верхней части камеры располагался плоский спиралевидный индуктор, подключенный к ВЧ (13.56 МГц) генератору, обеспечивающему возбуждение плазмы. Второй аналогичный ВЧ генератор использовался для создания отрицательного смещения на нижнем электроде, который выполнял функцию подложкодержателя. В качестве постоянных внешних параметров плазмы выступали вкладываемая мощность  $W = 800$  Вт, мощность смещения  $W_{dc} = 200$  Вт и общий расход плазмообразующего газа  $q = 80$  станд. см<sup>3</sup>/мин. Варьируемым параметром являлся начальный состав плазмообразующей смеси, задаваемый соотношением индивидуальных расходов ее компонентов. В частности, неизменное значение  $q_{\text{Ar}} = 40$  станд. см<sup>3</sup>/мин обуславливало постоянную долю аргона  $y_{\text{Ar}} = q_{\text{Ar}}/q$  на уровне 50%, при этом варьирование  $q_{\text{Cl}_2}$  в диапазоне 0–40 станд. см<sup>3</sup>/мин ( $y_{\text{Cl}_2} = 0$ –50%) отвечало пропорциональному снижению  $y_{\text{HBr}}$ , вплоть до полного замещения  $\text{HBr}$  на  $\text{Cl}_2$ .

Данные по электрофизическим параметрам плазмы получали с помощью двойного зонда Ленгмюра DLP2000 (Plasmart Inc., Korea). Обработка зондовых вольт-амперных характеристик (ВАХ) проводилась с использованием известных положений теории двойного зонда для газовых разрядов низкого давления [4, 13]. Результатом являлись данные по температуре электронов ( $T_e$ ) и плотности ионного тока ( $J_+$ ). Величина напряжения

смещения  $-U_{dc}$  измерялась высоковольтным зондом AMN-CTR (Youngsin Eng, Korea). Отметим, что условие  $W_{dc} = \text{const}$  не обеспечивало постоянства параметра  $-U_{dc}$  из-за изменения концентрации и плотности потока ионов при изменении состава плазмообразующего газа. Эксперименты показали также, что варьирование  $W_{dc}$  в диапазоне 0–200 Вт не оказывает принципиального влияния на форму зондовых ВАХ и, следовательно, на параметры газовой фазы разряда. Таким образом, исследованный диапазон условий в совокупности с конфигурацией экспериментального оборудования действительно обеспечивают независимую регулировку плотности потока и энергии бомбардирующих ионов.

В качестве объектов травления использовались фрагменты пластин Si(100) покрытые слоем низкотемпературного SiO<sub>2</sub> (~500 нм) или Si<sub>3</sub>N<sub>4</sub> (~400 нм) [14]. Образцы имели средний размер 2 × 2 см и располагались в центральной части нижнего электрода, температура которого поддерживалась на постоянном уровне с помощью системы водяного охлаждения. Скорость травления определяли как  $R = \Delta h/\tau$ , где  $\tau$  – время травления и  $\Delta h$  – толщина удаленного слоя, определяемая по высоте ступеньки на границе маскированной и немаскированной областей обрабатываемой поверхности. Величину  $\Delta h$  измеряли профилометром Alpha-step D-500 (KLA-Tencor, USA). В качестве маскирующего покрытия использовался позитивный фоторезист AZ1512 толщиной ~1.5 мкм, нанесенный методом центрифугирования. По результатам предварительных экспериментов было найдено, что увеличение площади обрабатываемой поверхности (числа одновременно загружаемых образцов) не сопровождается снижением скоростей травления обоих материалов и не приводит к возмущениям зондовых ВАХ. Это свидетельствует о том, что в исследуемом диапазоне условий процессы травления SiO<sub>2</sub> и Si<sub>3</sub>N<sub>4</sub> протекают в кинетическом режиме при пренебрежимо малом влиянии продуктов травления на параметры газовой фазы.

## 2.2. Моделирование плазмы

Для получения данных по стационарным концентрациям активных частиц плазмы применялась 0-мерная кинетическая модель с использованием экспериментальных данных по  $T_e$  и  $J_+$  в качестве входных параметров [9–12]. Кинетическая схема (набор процессов и соответствующих констант скоростей) была заимствована из наших работ [11, 15]. Алгоритм моделирования базировался на типовых допущениях, применяемых для описания кинетики плазмохимических процессов в газовых разрядах при давлениях  $p < 20$  мтор [4, 10–12, 14, 15]. В частности, полагалось, что:

1) Энергетическое распределение электронов в условиях высоких степеней ионизации

плазмообразующего газа ( $n_+/N > 10^{-4}$ , где  $n_+$  – суммарная концентрация положительных ионов, а  $N = p/k_B T_{\text{gas}}$  – плотность частиц при температуре газа  $T_{\text{gas}}$ ) формируется при значительном вкладе равновесных электрон-электронных соударений. Это обуславливает применимость функции Максвелла при расчетах констант скоростей процессов под действием электронного удара.

2) Рекомбинация атомов на стенках разрядной камеры протекает по первому кинетическому порядку (механизм Или-Ридила) с постоянной вероятностью  $\gamma$  [16, 17]. Константы скоростей (частоты) рекомбинации могут быть определены как  $k \approx \gamma v_T (r + l) / 2rl$ , где  $v_T = (8k_B T_{\text{gas}} / \pi m)^{1/2}$ . Величина  $T_{\text{gas}}$  в условиях  $p, W = \text{const}$  может полагаться независимой от состава плазмообразующей смеси [15].

3) Суммарная концентрация положительных ионов связана с экспериментально измеренной плотностью ионного тока соотношением вида:

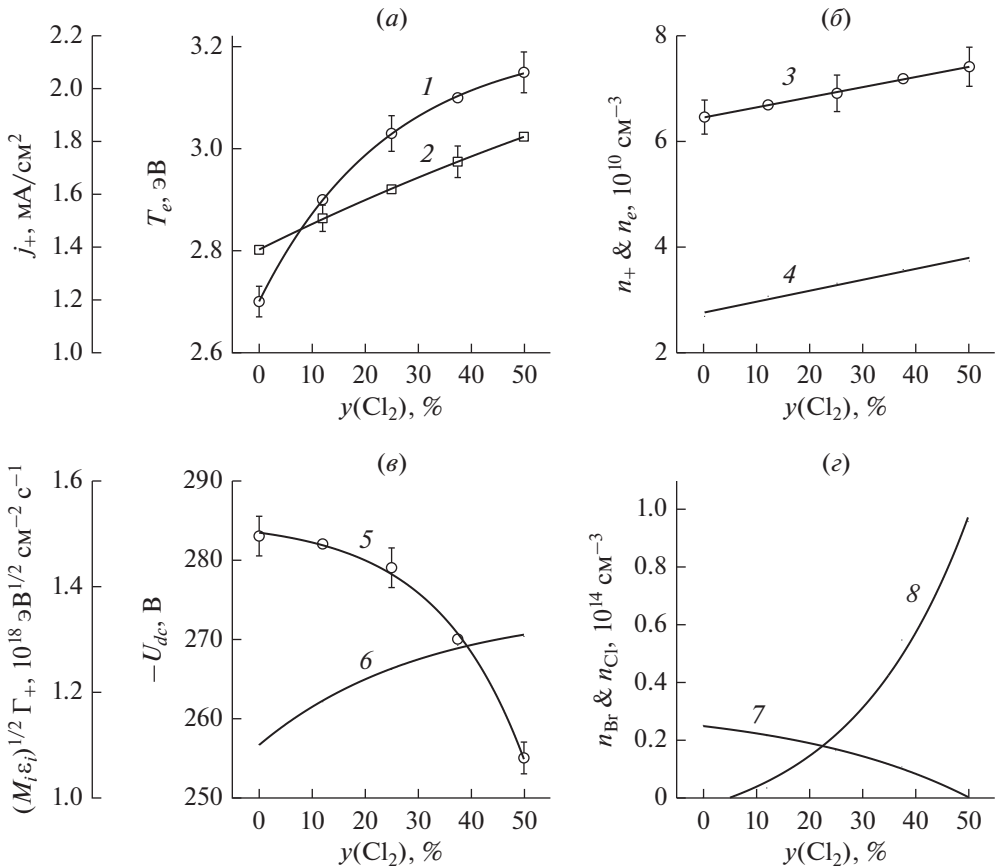
$$n_+ \approx \frac{J_+}{0.61e\sqrt{eT_e/m_+}}, \quad (1)$$

где  $m_+$  – эффективная масса ионов, определяемая составом ионной компоненты плазмы [9, 11]. В первом приближении можно полагать, что  $y_+ \sim k_{iz} y_x / \sqrt{1/m_x}$  [9], где  $y_+$  – относительная концентрация (доля) данного положительного иона внутри  $n_+$ , а  $k_{iz}$  и  $y_x$  – константа скорости ионизации и мольная доля соответствующей нейтральной частицы с массой  $m_x$ .

4) Концентрация электронов  $n_e$  при известной величине  $n_+$  может быть найдена из кинетического уравнения для отрицательных ионов, устанавливающего равенство суммарных скоростей диссоциативного прилипания и ион-ионной рекомбинации в объеме плазмы. Простейшим решением этого уравнения является

$$n_e \approx \frac{k_{1,2} n_+^2}{v_{da} + k_{1,2} n_+}, \quad (2)$$

где  $k_{1,2}$  – среднее значение константы скорости гибели ионов по R1: Br<sup>–</sup> + X<sup>+</sup> → Br + X и R2: Cl<sup>–</sup> + X<sup>+</sup> → Cl + X, где X<sup>+</sup> – любой положительный ион, а  $v_{da} \approx k_3 n_{\text{HBr}} + k_4 n_{\text{Br}_2} + k_5 n_{\text{Cl}_2} + k_6 n_{\text{HCl}}$  – эффективная частота гибели электронов и образования отрицательных ионов в реакциях R3: HBr + e → H + Br<sup>–</sup>, R4: Br<sub>2</sub> + e → Br + Br<sup>–</sup>, R5: Cl<sub>2</sub> + e → Cl + Cl<sup>–</sup> и R6: HCl + e → H + Cl<sup>–</sup>. Константы скоростей всех процессов, входящих в уравнение (2), хорошо известны по литературным данным [9, 11, 15]. Соответственно, самосогласованное моделирование плазмы в смесях Cl<sub>2</sub>/Ar [18] и HBr/Ar [19] показало удовлетворительное согласие расчетных и измеренных концентраций заряженных частиц.



**Рис. 1.** Характеристики газовой фазы в плазме HBr/Cl<sub>2</sub>/Ar при  $p = 10$  мтор,  $W = 700$  Вт и  $W_{dc} = 200$  Вт: (1) температура электронов ( $T_e$ ); (2) плотность ионного тока ( $j_+$ ); (3) суммарная концентрация положительных ионов ( $n_+$ ); (4) концентрация электронов ( $n_e$ ); (5) отрицательное смещение на нижнем электроде ( $-U_{dc}$ ); (6) параметр  $\sqrt{M_i \epsilon_i} \Gamma_+$ , отслеживающий интенсивность ионной бомбардировки; (7) концентрация атомов брома ( $n_{Br}$ ); и (8) концентрация атомов хлора ( $n_{Cl}$ ). Линии с символами – эксперимент, линии без символов – расчет.

### 3. ОБСУЖДЕНИЕ РЕЗУЛЬТАТОВ

Кинетика и механизмы плазмохимических процессов, определяющих стационарные электрофизические параметры плазмы в бинарной смеси HBr/Cl<sub>2</sub> при варьировании соотношения ее компонентов были подробно рассмотрены нами в работе [15]. Так как результаты аналогичных исследований для трехкомпонентной смеси HBr/Cl<sub>2</sub>/Ar при  $y_{Ar} = \text{const}$  (рис. 1a–e) не имеют принципиальных отличий, ниже мы ограничимся лишь кратким обсуждением основных моментов применительно к актуальному набору входных параметров. В частности, увеличение температуры (средней энергии) электронов (рис. 1a) при замещении HBr на Cl<sub>2</sub> однозначно обусловлено снижением потерь энергии в неупругих столкновениях электронов с частицами газа. Причиной последнего эффекта являются высокие степени диссоциации молекул Cl<sub>2</sub>, обеспечивающие доминирование атомарных частиц в смесях с высоким содержанием хлора (рис. 2). Аналогичное поведение суммарной

концентрации положительных ионов (рис. 1б) является следствием роста скорости ионизации по причинам а) более высоких значений константы скорости R7: Cl<sub>2</sub> + e → Cl<sub>2</sub><sup>+</sup> + 2e ( $k_7 \sim 1.3 \times 10^{-9}$  см<sup>3</sup>/с при  $T_e = 3$  эВ) по сравнению с R8: HBr + e → HBr<sup>+</sup> + 2e ( $k_8 \sim 6.7 \times 10^{-10}$  см<sup>3</sup>/с при  $T_e = 3$  эВ) и R9: Br + e → Br<sup>+</sup> + 2e ( $k_9 \sim 6.1 \times 10^{-10}$  см<sup>3</sup>/с при  $T_e = 3$  эВ); и б) увеличения констант скоростей ионизации всех нейтральных частиц из-за роста  $T_e$ . Очевидно, что такое изменение величины  $n_+$  влечет за собой рост плотности ионного тока  $J_+$  (рис. 1a) и потока ионов на обрабатываемую поверхность  $\Gamma_+ \approx J_+/e$  ( $8.7 \times 10^{15}$ – $1.1 \times 10^{16}$  см<sup>2</sup> с<sup>-1</sup> при  $y_{Cl_2} = 0$ – $50\%$ ). Последний эффект с избытком компенсирует противоположную тенденцию напряжения смещения  $-U_{dc}$  (рис. 1в) и энергии бомбардирующих ионов ( $\epsilon_i = 300$ – $274$  эВ при  $y_{Cl_2} = 0$ – $50\%$ ), поэтому имеет место монотонное увеличение интенсивность ионной бомбардировки с ростом доли Cl<sub>2</sub> в исходной смеси. Данный вывод наглядно

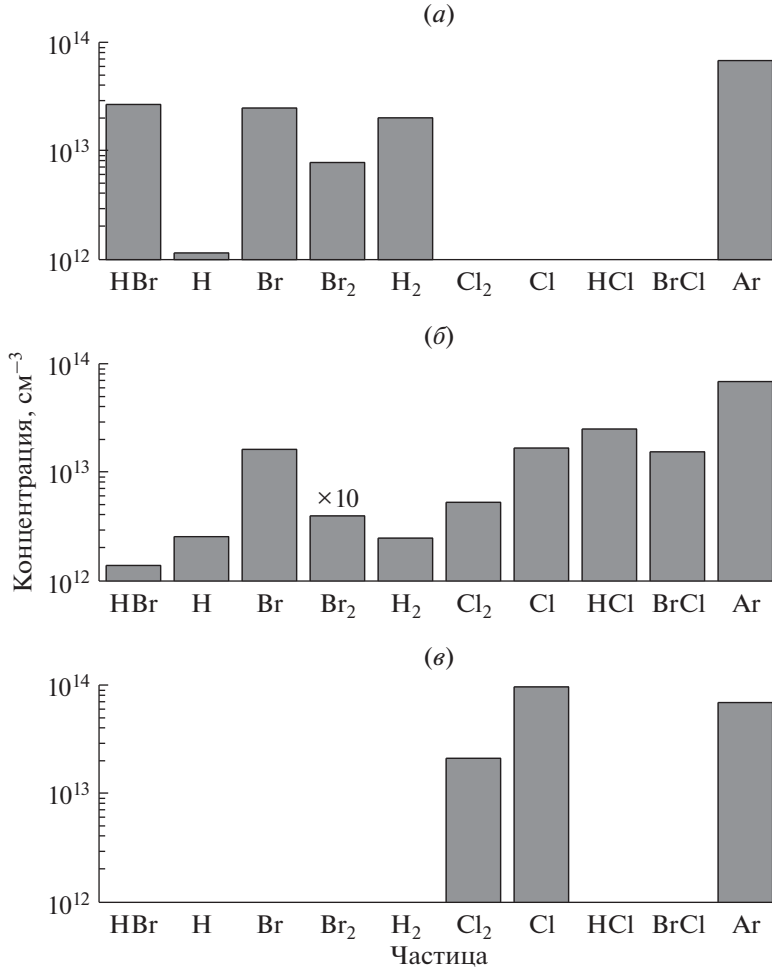


Рис. 2. Состав плазмы в плазме HBr/Cl<sub>2</sub>/Ar при (a)  $y_{Cl_2} = 0$  (смесь 50% HBr + 50% Ar); (б)  $y_{Cl_2} = y_{HBr}$  (смесь 25% HBr + 25% Cl<sub>2</sub> + 50% Ar); и (в)  $y_{HBr} = 0$  (смесь 50% Cl<sub>2</sub> + 50% Ar).

илюстрируется характером изменения отслеживающего параметра  $\sqrt{M_i \varepsilon_i \Gamma_+}$  [9, 11] (рис. 1 $\sigma$ ). Концентрация электронов (рис. 1 $\delta$ ) также следует изменению скорости ионизации, но демонстрирует чуть более резкий рост (в  $\sim 1.4$  раза при  $y_{Cl_2} = 0$ –50%) по сравнению с  $n_+$  (в  $\sim 1.2$  раза при  $y_{Cl_2} = 0$ –50%). Данный эффект обусловлен снижением суммарной скорости гибели электронов в реакциях R3–R6 по причинам а)  $k_6 \ll k_3$ ,  $k_4$  из-за порогового характера прилипания электронов к молекулам HCl; и б) снижения суммарной концентрации электроотрицательных частиц из-за высоких степеней диссоциации молекул Cl<sub>2</sub>, что обеспечивает  $k_3 n_{HBr} + k_4 n_{Br_2} > k_5 n_{Cl_2}$ .

При анализе кинетики нейтральных частиц было найдено, что основными источниками атомов брома в плазме 50% HBr + 50% Ar являются реакции R10: HBr + e  $\rightarrow$  H + Br + e и R11: Br<sub>2</sub> + e  $\rightarrow$  2Br + e. Заметный вклад второго процесса является следствием высокой вероятности ( $\sim 0.5$  [11])

и, как следствие, скорости гетерогенной рекомбинации R12: 2Br  $\rightarrow$  Br<sub>2</sub>. В то же время, выполнение условия  $n_{Br} \gg n_H$  (рис. 2 $a$ ) обеспечивается а) более высокой скоростью образования атомов брома в процессах электронного удара по причине  $k_{10} \gg k_{12}$ , где R12: H<sub>2</sub> + e  $\rightarrow$  2H + e; и б) эффективной гибелю атомов водорода в объемных процессах R13: H + HBr  $\rightarrow$  H<sub>2</sub> + Br ( $k_{13} \sim 6.5 \times 10^{-12}$  см<sup>3</sup>/с при  $T_{gas} \sim 600$  К [20]) и R14: H + Br<sub>2</sub>  $\rightarrow$  HBr + Br ( $k_{14} \sim 6.0 \times 10^{-11}$  см<sup>3</sup>/с при  $T_{gas} \sim 600$  К [20]). Так как продуктами R13 и R14 являются молекулы H<sub>2</sub> и HBr, особенностями состава плазмы в условиях  $y_{Cl_2} = 0$  являются относительно низкие степени диссоциации молекул HBr и  $n_{H_2} > n_{Br_2}$  (рис. 2 $a$ ). Отметим, что качественно аналогичные результаты для плазмы смеси HBr/Ar были получены ранее в работах [11, 12, 15, 21, 22], в том числе – в условиях тлеющего разряда постоянного тока, возбуждаемого при давлениях  $\sim 1000$  мтор. Очевидно, что “универсальность” свойств нейтральной ком-

поненты плазмы HBr по относительным концентрациям частиц обусловлена фундаментальными физико-химическими характеристиками молекул HBr, а также отсутствием принципиальных различий основных механизмов их химических превращений разрядах различной природы. Замещение HBr на Cl<sub>2</sub> снижает скорости образования атомов брома в процессах R10 и R11, но приводит к появлению альтернативных механизмов диссоциации бромсодержащих молекул при их взаимодействии с атомами хлора по реакциям R15: HBr + Cl → HCl + Br ( $k_{15} \sim 2.0 \times 10^{-11}$  см<sup>3</sup>/с при  $T_{\text{gas}} \sim 600$  К [20]) и R16: Br<sub>2</sub> + Cl → BrCl + Cl ( $k_{16} \sim 1.0 \times 10^{-10}$  см<sup>3</sup>/с при  $T_{\text{gas}} \sim 600$  К [20]). Это является причиной медленного (по сравнению с линейной зависимостью, отражающей изменение  $y_{\text{Cl}_2}$ ) роста концентрации атомов хлора (рис. 1 $\sigma$ ), а также обеспечивает эффективную конверсию соответствующих реагентов в HCl и BrCl. В результате, доминирующими частицами газовой фазы при  $y_{\text{Cl}_2} = 25\%$  (то есть при равных содержаниях Cl<sub>2</sub> и HBr в плазмообразующей смеси) становятся молекулы HCl (рис. 2 $\delta$ ), при этом генерация атомов брома получает дополнительную поддержку со стороны R17: BrCl + H → HCl + Br ( $k_{17} \sim 5.0 \times 10^{-12}$  см<sup>3</sup>/с при  $T_{\text{gas}} \sim 600$  К [20]) и R18: BrCl + Cl → Cl<sub>2</sub> + Br ( $k_{18} \sim 4.0 \times 10^{-12}$  см<sup>3</sup>/с при  $T_{\text{gas}} \sim 600$  К [20]). Следствием этого является медленное (по сравнению с линейной зависимостью, отражающей изменение  $y_{\text{HBr}}$ ) снижение концентрации атомов брома в плазме (рис. 1 $\sigma$ ). Отметим также, что высокие скорости образования атомов хлора по R19: Cl<sub>2</sub> + e → 2Cl + e ( $k_{19} = 9.2 \times 10^{-9} - 1.1 \times 10^{-8}$  см<sup>3</sup>/с при  $y_{\text{Cl}_2} = 0 - 50\%$ ) в сочетании с относительно (по сравнению с атомами брома) низкими вероятностями гетерогенной рекомбинации R20: 2Cl → Cl<sub>2</sub> обеспечивают  $n_{\text{Cl}}/n_{\text{Cl}_2} > 1$  во всем исследованном диапазоне состава смеси (рис. 2 $\delta$ ,  $\sigma$ ). Данный факт хорошо согласуется с результатами работ по экспериментальному исследованию и моделированию плазмы Cl<sub>2</sub> [18, 23, 24] для близких диапазонов условий по давлению газа и величине удельной вкладываемой мощности. Очевидно также, что выполнение условия  $n_{\text{Cl}} > n_{\text{Br}}$  в крайних точках исследованного диапазона состава смеси означает увеличение концентрации химически активных частиц с ростом параметра  $y_{\text{Cl}_2}$ . Соответственно, суммарная плотность потока атомов галогенов  $\Gamma_{\text{Br}} + \Gamma_{\text{Cl}}$  также увеличивается в диапазоне  $2.7 \times 10^{17} - 1.6 \times 10^{18}$  см<sup>-2</sup> с<sup>-1</sup> при  $y_{\text{Cl}_2} = 0 - 50\%$ .

Эксперименты показали, что скорости травления SiO<sub>2</sub> и Si<sub>3</sub>N<sub>4</sub> монотонно возрастают с увеличением содержания хлора в плазмообразующей смеси, при этом качественно близком характере

обеих зависимостей стабильно выполняется условие  $R_{\text{Si}_3\text{N}_4} > R_{\text{SiO}_2}$  (рис. 3 $a$ ). Тем не менее, при пересчете на плотность потока продуктов с обрабатываемой поверхности эти различия становятся менее существенными ( $1.1 \times 10^{15} - 3.8 \times 10^{15}$  см<sup>-2</sup> с<sup>-1</sup> для SiO<sub>2</sub> vs.  $8.3 \times 10^{14} - 4.1 \times 10^{15}$  см<sup>-2</sup> с<sup>-1</sup> для Si<sub>3</sub>N<sub>4</sub> при  $y_{\text{Cl}_2} = 0 - 50\%$ ) из-за значительно большей молярной массы нитрида кремния. Ранее в работах [6, 25] было показано, что наблюдаемая скорость реактивно-ионного травления представляет сумму скоростей физического распыления ( $R_{\text{phys}}$ ) и ионно-стимулированной химической реакции ( $R_{\text{chem}}$ ). Для оценки вклада первого слагаемого были измерены скорости травления SiO<sub>2</sub> и Si<sub>3</sub>N<sub>4</sub> в плазме чистого аргона  $R_{\text{phys},\text{Ar}}$ , которые составили  $\sim 7$  нм/мин ( $\sim 3.1 \times 10^{14}$  см<sup>-2</sup> с<sup>-1</sup>) и  $\sim 15$  нм/мин ( $\sim 3.6 \times 10^{15}$  см<sup>-2</sup> с<sup>-1</sup>), соответственно. Это позволило определить коэффициенты распыления исследуемых материалов ионами аргона:  $Y_{\text{S},\text{Ar}^+} = R_{\text{phys},\text{Ar}}/\Gamma_+$  ( $\sim 0.06$  для Si<sub>3</sub>N<sub>4</sub> и  $\sim 0.05$  для SiO<sub>2</sub> при энергиях бомбардирующих ионов  $\sim 300$  эВ), оценить актуальные коэффициенты распыления для смесей переменного начального состава:  $Y_{\text{S}} = Y_{\text{S},\text{Ar}^+}\sqrt{m_+/m_{\text{Ar}^+}}$  и разделить клады физической ( $R_{\text{phys}} = Y_{\text{S}}\Gamma_+$ ) и химической ( $R_{\text{chem}} = R - R_{\text{phys}}$ ) компонент скоростей травления. Отметим, что найденная нами величина  $Y_{\text{S},\text{Ar}^+}$  для диоксида кремния примерно в два раза ниже по сравнению с экспериментальными данными из работы [26]. По нашему мнению, такая ситуация отражает специфику свойств поверхности SiO<sub>2</sub>, полученного методом осаждения из газовой фазы (малая дефектность, низкая шероховатость и высокая плотность упаковки частиц).

Из данных рис. 3 $a$  однозначно следует, что доминирующим механизмом травления SiO<sub>2</sub> и Si<sub>3</sub>N<sub>4</sub> во всем исследованном диапазоне состава смеси является ионно-стимулированная химическая реакция, изменение скорости которой определяет характер зависимостей  $R = f(y_{\text{Cl}_2})$ . В количественном плане, изменение  $R_{\text{chem}}$  при варьировании соотношения HBr/Cl<sub>2</sub> в исходной смеси (в  $\sim 4.5$  раза для SiO<sub>2</sub> и в  $\sim 7.5$  раза для Si<sub>3</sub>N<sub>4</sub> при  $y_{\text{Cl}_2} = 0 - 50\%$ ) является значительно более резким по сравнению с аналогичной зависимостью  $\Gamma_+$ , но в целом соответствует поведению параметра  $\Gamma_{\text{Br}} + \Gamma_{\text{Cl}}$ . Это позволяет предположить, что реакция протекает в режиме лимитирования потоком нейтральных частиц, когда деструкция оксидных или нитридных связей под действием ионной бомбардировки генерирует достаточно центров адсорбции для атомов галогенов. Принимая во внимание тот факт, что травление SiO<sub>2</sub> и Si<sub>3</sub>N<sub>4</sub> в системах 50% HBr + 50% Ar и 50% Cl<sub>2</sub> + 50% Ar обеспечивается только атомами брома или хлора, отношение соответствующих скоростей травления к плотности потока атомов дает эффективные вероятности взаимодействия

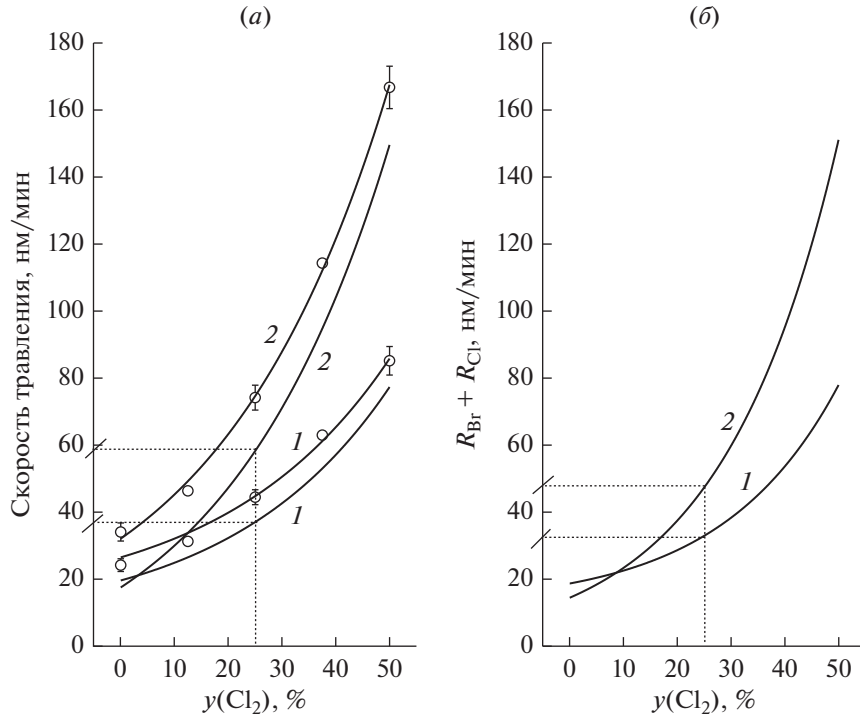


Рис. 3. Кинетика травления  $\text{SiO}_2$  (1) и  $\text{Si}_3\text{N}_4$  (2) в плазме  $\text{HBr}/\text{Cl}_2/\text{Ar}$ . На рис. (а): измеренная скорость травления ( $R$ , линия + символы) и скорость ионно-стимулированной химической реакции ( $R_{\text{chem}}$ , линия), определенная как  $R - R_{\text{phys}}$ , где  $R_{\text{phys}}$  – скорость физического распыления. На рис. (б): скорость ионно-стимулированной химической реакции, определенная как сумма скоростей взаимодействия атомов брома ( $R_{\text{Br}}$ ) и хлора ( $R_{\text{Cl}}$ ).

$\gamma_{R,\text{Br}} = R_{\text{chem}}/\Gamma_{\text{Br}}$  (~0.0025 для  $\text{SiO}_2$  и ~0.0019 для  $\text{Si}_3\text{N}_4$  при  $y_{\text{Cl}_2} = 0$ ) и  $\gamma_{R,\text{Cl}} = R_{\text{chem}}/\Gamma_{\text{Cl}}$  (~0.0022 для  $\text{SiO}_2$  и ~0.0023 для  $\text{Si}_3\text{N}_4$  при  $y_{\text{Cl}_2} = 50\%$ ). Близкие значения  $\gamma_{R,\text{Br}}$  и  $\gamma_{R,\text{Cl}}$  для каждого из исследуемых материалов хорошо согласуются с результатами экспериментальных исследований для кремния [6–8]. По нашему мнению, это подтверждает сделанное выше предположение о том, что наблюдаемая кинетика травления в обоих случаях отражает изменение совокупной скорости гетерогенных реакций  $\text{Si} + x\text{Br} \rightarrow \text{SiBr}_x$  ( $R_{\text{Br}}$ ) и  $\text{Si} + x\text{Cl} \rightarrow \text{SiCl}_x$  ( $R_{\text{Cl}}$ ). В то же время, расчеты суммарной скорости химического взаимодействия  $R_{\text{Br}} + R_{\text{Cl}} = \gamma_{R,\text{Br}}\Gamma_{\text{Br}} + \gamma_{R,\text{Cl}}\Gamma_{\text{Cl}}$  (рис. 3б) показали, что для смесей, в которых присутствуют оба активных компонента, получаемые значения заметно ниже по сравнению с  $R_{\text{chem}}$ . Несколько улучшает, но не меняет принципиально ситуацию и предположение о том, что эффективные вероятности взаимодействия, найденные в индивидуальных газах-компонентах смеси, возрастают пропорционально параметру  $\sqrt{M_i \epsilon_i \Gamma_+}$ . Таким образом, можно предположить существование дополнительного канала химического взаимодействия, вклад которого близок к максимальному в условиях  $y_{\text{Cl}_2} \approx y_{\text{HBr}}$ . По нашему мнению, в качестве такого канала может выступать взаимодействие с молекулами  $\text{HCl}$ , возможность

которого неоднократно отмечалась в работах по газовому (без возбуждения плазмы) травлению кремния [27, 28]. Однако точное выяснение данного вопроса требует дальнейших исследований.

## ЗАКЛЮЧЕНИЕ

Исследовано влияние соотношения  $\text{HBr}/\text{Cl}_2$  на параметры газовой фазы и кинетику реактивно-ионного травления  $\text{SiO}_2$  и  $\text{Si}_3\text{N}_4$  в плазме  $\text{HBr}/\text{Cl}_2/\text{Ar}$ . Найдено, что замещение  $\text{HBr}$  на  $\text{Cl}_2$  в условиях  $p, W = \text{const}$  сопровождается увеличением а) температуры электронов (из-за снижения потерь энергии на колебательное и электронное возбуждение); б) плотности плазмы (из-за роста скорости ионизации и снижения электроотрицательности); в) интенсивности ионной бомбардировки (из-за роста плотности потока ионов) и г) суммарной концентрации атомов галогенов (из-за высоких степеней диссоциации молекул  $\text{Cl}_2$ , обеспечивающих  $n_{\text{Cl}} \gg n_{\text{Br}}$  при  $y_{\text{Cl}_2} > 25\%$ ). Установлено, что вклад физического распыления в общую скорость травления  $\text{SiO}_2$  и  $\text{Si}_3\text{N}_4$  не превышает ~25 и ~40%, соответственно, при этом основным механизмом процесса является ионно-стимулированная химическая реакция. Показано, что удовлетворительное модельное описание кинетики такой реакции обеспечивается предпо-

сылками об аддитивном эффекте атомов брома и хлора, а также прямо-пропорциональных зависимостях соответствующих вероятностей взаимодействия от интенсивности ионной бомбардировки обрабатываемой поверхности. Предположено, что максимальное расхождение экспериментальной и расчетной скоростей в области 20–40% Cl<sub>2</sub> может быть обусловлено химической активностью молекул HCl.

Публикация выполнена в рамках государственного задания ФГУ ФНЦ НИИСИ РАН (Проведение фундаментальных научных исследований (47 ГП)) по теме НИР “11021060909091-4-1.2.1 Фундаментальные и прикладные исследования в области литографических пределов полупроводниковых технологий и физико-химических процессов травления 3D нанометровых диэлектрических структур для развития критических технологий производства ЭКБ. Исследование и построение моделей и конструкций элементов микроэлектроники в расширенном диапазоне температур (от –60 до +300°C) (FNEF-2022-0006)”.

## СПИСОК ЛИТЕРАТУРЫ

1. Advanced plasma processing technology. New York: John Wiley & Sons Inc., 2008. 479 p.
2. Wolf S., Tauber R.N. Silicon Processing for the VLSI Era. Volume 1. Process Technology. New York: Lattice Press, 2000. 416 p.
3. Nojiri K. Dry etching technology for semiconductors. Tokyo: Springer International Publishing, 2015. 116 p.
4. Lieberman M.A., Lichtenberg A.J. Principles of plasma discharges and materials processing. New York: John Wiley & Sons Inc., 2005. 730 p.
5. Roosmalen J., Baggerman J.A.G., H. Brader S.J. Dry etching for VLSI, New-York: Plenum Press, 1991. 345 p.
6. Jin W., Vitale S.A., Sawin H.H. Plasma-surface kinetics and simulation of feature profile evolution in Cl<sub>2</sub> + HBr etching of polysilicon // J. Vac. Sci. Technol. 2002. V. 20. P. 2106–2114.
7. Vitale S.A., Chae H., Sawin H.H. Silicon etching yields in F<sub>2</sub>, Cl<sub>2</sub>, Br<sub>2</sub>, and HBr high density plasmas // J. Vac. Sci. Technol. 2001. V. 19. P. 2197–2206.
8. Cheng C.C., Guinn K.V., Herman I.P., Donnelly V.M. Competitive halogenation of silicon surfaces in HBr/Cl<sub>2</sub> plasmas studied with xray photoelectron spectroscopy and in situ, realtime, pulsed laserinduced thermal desorption // J. Vac. Sci. Technol. A. 1995. V. 13. P. 1970–1976.
9. Lim N., Efremov A., Kwon K.-H. Comparative Study of Cl<sub>2</sub> + O<sub>2</sub> and HBr + O<sub>2</sub> Plasma Chemistries in Respect to Silicon Reactive-Ion Etching Process // Vacuum. 2021. V. 186. P. 110043(1–10).
10. Efremov A.M., Betelin V.B., Kwon K.-H. Kinetics and Mechanisms of Reactive-Ion Etching of Si and SiO<sub>2</sub> in a Plasma of a Mixture of HBr + O<sub>2</sub> // Russian Microelectronics. 2020. V. 49. № 6. P. 403–408.
11. Efremov A., Lee J., Kwon K.-H. A comparative study of CF<sub>4</sub>, Cl<sub>2</sub> and HBr + Ar inductively coupled plasmas for dry etching applications // Thin Solid Films. 2017. V. 629. P. 39–48.
12. Efremov A.M., Murin D.B., Betelin V.B., Kwon K.-H. Special Aspects of the Kinetics of Reactive Ion Etching of SiO<sub>2</sub> in Fluorine-, Chlorine-, and Bromine-Containing Plasma // Russian Microelectronics. 2020. V. 49. № 2. P. 94–102.
13. Shun'ko E.V. Langmuir Probe in Theory and Practice, Boca Raton: Universal Publishers, 2008. 230 p.
14. Efremov A., Lee B.J., Kwon K.-H. On Relationships Between Gas-Phase Chemistry and Reactive-Ion Etching Kinetics for Silicon-Based Thin Films (SiC, SiO<sub>2</sub> and Si<sub>x</sub>N<sub>y</sub>) in Multi-Component Fluorocarbon Gas Mixtures // Materials. 2021. V. 14. P. 1432(1–27).
15. Efremov A., Kim Y., Lee H.W., Kwon K.H. A comparative study of HBr-Ar and HBr–Cl<sub>2</sub> plasma chemistries for dry etch applications // Plasma Chem. Plasma Proc. 2011. V. 31. № 2. P. 259–271.
16. Kota G.P., Coburn J.W., Graves D.B. Heterogeneous recombination of atomic bromine and fluorine // J. Vac. Sci. Technol. A. 1999. V. 17. № 1. P. 282–290.
17. Kota G.P., Coburn J.W., Graves D.B. The recombination of chlorine atoms at surfaces // J. Vac. Sci. Technol. A. 1998. V. 16. № 1. P. 270–277.
18. Efremov A.M., Kim G.H., Kim J.G., Bogomolov A.V., Kim C.I. On the applicability of self-consistent global model for the characterization of Cl<sub>2</sub>/Ar inductively coupled plasma // Microelectron. Eng. 2007. V. 84. P. 136–143.
19. Efremov A., Choi B.-G., Nahm S., Lee H.W., Min N.-K., Kwon K.-H. Plasma Parameters and Active Species Kinetics in an Inductively Coupled HBr Plasma // J. Korean Phys. Soc. 2008. V. 52. P. 48–55.
20. NIST Chemical Kinetics Database. <http://kinetics.nist.gov/kinetics/> (20.11.2022)
21. Kwon K.-H., Efremov A., Kim M., Min N.K., Jeong J., Kim K. A Model-Based Analysis of Plasma Parameters and Composition in HBr/X (X=Ar, He, N<sub>2</sub>) Inductively Coupled Plasmas // J. Electrochem. Soc. 2010. V. 157. № 5. P. H574–H579.
22. Smirnov A.A., Efremov A.M., Svetsov V.I. Effect of Additions of Ar and He on the Parameters and Composition of the HBr Plasma // Russian Microelectronics. 2010. V. 39. № 5. P. 366–375.
23. Efremov A., Min N.K., Choi B.G., Baek K.H., Kwon K.-H. Model-Based Analysis of Plasma Parameters and Active Species Kinetics in Cl<sub>2</sub>/X (X=Ar, He, N<sub>2</sub>) Inductively Coupled Plasmas // J. Electrochem. Soc. 2008. V. 155. № 12. P. D777–D782.
24. Malyshev M.V., Donnelly V.M., Kornblit A., Ciampa N.A. Percent dissociation of Cl<sub>2</sub> in inductively coupled chlorine-containing plasmas // J. Appl. Phys. 1998. V. 84. P. 137–141.
25. Gray D.C., Tepermeister I., Sawin H.H. Phenomenological modeling of ion-enhanced surface kinetics in fluorine-based plasma-etching // J. Vac. Sci. Technol. B. 1993. V. 11. № 4. P. 1243–1257.
26. Seah M.P., Nunney T.S. Sputtering yields of compounds using argon ions // J. Phys. D: Appl. Phys. 2010. V. 43. № 25. P. 253001(1–24).
27. Dominguez C., Pastor G., Dominguez E. Low pressure chemical etching of silicon by HCl/Cl<sub>2</sub> gas mixture // J. Electrochem. Soc. 1987. V. 143. № 1. P. 199–202.
28. Isheden C., Hellstrom P.-E., Radamson H.H., Zhang S.-L., Ostling M. Selective Si Etching Using HCl Vapor // Physica Scripta. 2004. V. T114. P. 107–109.